Füllstandssensor
mit IO-Link

FXSL006
Bestellnummer



- **Digital- und Analogausgang**
- **Füllstandsmessung in allen Medien: flüssig, pastös, klebrig oder fest**
- **IO-Link 1.1**
- **Mit adaptiven Trigger**

Die LevelTech-Füllstandssensoren nutzen die innovative Frequenzhubtechnologie, um unterschiedliche Medien anhand ihrer Resonanzfrequenz zu identifizieren. Über den Schalt- bzw. Analogausgang ermöglichen sie eine zuverlässige Unterscheidung zwischen Schaum und Flüssigkeiten oder zwischen mehreren Medien. Für Anwendungen mit häufig wechselnden Medien bietet der adaptive Trigger eine effiziente Lösung. Die Parametrierung der Sensoren, einschließlich Filter- und Ausgangsfunktionen, erfolgt dabei flexibel über IO-Link. Das robuste, FDA-konforme Edelstahlgehäuse ist durch seine kompakte Bauform selbst in beengten Einbauumgebungen einfach zu installieren.



Technische Daten

Sensorspezifische Daten	
Messprinzip	Frequenzhub
Messbereich > DK***	1,5
Medium	Flüssigkeiten; Granulate; Pulver
Ansprechzeit	0,04 s
Umgebungsbedingungen	
Mediumstemperatur TM (TU < 50 °C)	-40...115 °C**
Mediumstemperatur TM kurzzeitig (TU < 50 °C, t < 1 h)	-40...130 °C
Umgebungstemperatur	-40...60 °C
Lagertemperatur	-40...85 °C
Druckfestigkeit	100 bar
Elektrische Daten	
Versorgungsspannung	8...35 V DC
Stromaufnahme (Ub = 24 V)	< 53 mA
Anzahl Schaltausgänge	1
Hochlaufzeit	< 1,5 s
Schaltstrom Schaltausgang	100 mA
Spannungsabfall Schaltausgang	≤ 1,9 V
Signalquelle	Mediumsänderung
Leckstrom	< 100 µA
Kurzschlussfest	ja
Verpolungssicher	ja
Schnittstelle	IO-Link V1.1
Mechanische Daten	
Einstellart	IO-Link
Gehäusematerial	Edelstahl, V4A (1.4404/316L)
Medienberührende Werkstoffe	Edelstahl V4A, (1.4404 / 316L)
Medienberührende Werkstoffe	Kunststoff, PEEK
Schutzart	IP67
Schutzart	IP69K
Anschlussart	M12 × 1; 4-polig
Material Anschlussstecker	Edelstahl
Prozessanschluss	G 1/2"
Sicherheitstechnische Daten	
MTTFd (EN ISO 13849-1)	633,2 a
Öffner/Schließer umschaltbar	●
IO-Link	●
Gegentakt	●
Anschlussbild-Nr.	617
Passende Anschlusstechnik-Nr.	2
Passende Befestigungstechnik-Nr.	903

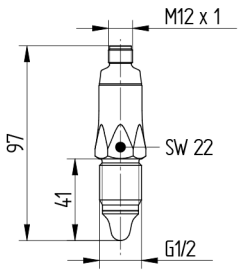
* montiert in geschlossenem Metalltank

** TM= Mediumstemperatur; TU= Umgebungstemperatur

*** Die relative Dielektrizitätskonstante des zu detektierenden Mediums muss größer als 1,5 sein. (DK= Dielektrizitätskonstante)

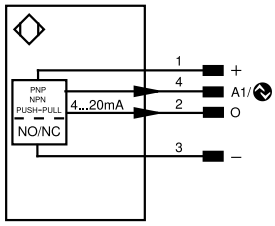
Ergänzende Produkte

IO-Link-Master
Software



Maßangaben in mm (1 mm = 0.03937 Inch)

617



Symbolerklärung					
+	Versorgungsspannung +	nc	Nicht angeschlossen	ENBRS422	Encoder B/B̄ (TTL)
–	Versorgungsspannung 0 V	U	Testeingang	ENA	Encoder A
~	Versorgungsspannung (Wechselspannung)	Ū	Testeingang invertiert	ENB	Encoder B
A	Schaltausgang Schließer (NO)	W	Triggereingang	AMIN	Digitalausgang MIN
Ā	Schaltausgang Öffner (NC)	W–	Bezugsmasse/Triggereingang	AMAX	Digitalausgang MAX
V	Verschmutzungs-/Fehlerausgang (NO)	O	Analogausgang	AOK	Digitalausgang OK
V̄	Verschmutzungs-/Fehlerausgang (NC)	O–	Bezugsmasse/Analogausgang	SY In	Synchronisation In
E	Eingang analog oder digital	BZ	Blockabzug	SY OUT	Synchronisation OUT
T	Teach-in-Eingang	AMV	Ausgang Magnetventil/Motor	OLT	Lichtstärkeausgang
Z	Zeitverzögerung (Aktivierung)	a	Ausgang Ventilsteuerung +	M	Wartung
S	Schirm	b	Ausgang Ventilsteuerung 0 V	rsv	Reserviert
RxD	Schnittstelle Empfangsleitung	SY	Synchronisation	Adernfarben nach IEC 60757	
TxD	Schnittstelle Sendeleitung	SY–	Bezugsmasse/Synchronisation	BK	schwarz
RDY	Bereit	E+	Empfängerleitung	BN	braun
GND	Masse	S+	Sendeleitung	RD	rot
CL	Takt	⏚	Erdung	OG	orange
E/A	Eingang/Ausgang programmierbar	SnR	Schaltabstandsreduzierung	YE	gelb
	IO-Link	Rx+/–	Ethernet Empfangsleitung	GN	grün
PoE	Power over Ethernet	Tx+/–	Ethernet Sendeleitung	BU	blau
IN	Sicherheitseingang	Bus	Schnittstellen-Bus A(+)/B(–)	VT	violett
OSSD	Sicherheitsausgang	La	Sendelicht abschaltbar	GY	grau
Signal	Signalausgang	Mag	Magnetansteuerung	WH	weiß
BI_D+/–	Ethernet Gigabit bidirekt. Datenleitung (A-D)	RES	Bestätigungseingang	PK	rosa
EN0 RS422	Encoder 0-Impuls 0/0̄ (TTL)	EDM	Schützkontrolle	GNYE	grüngelb
PT	Platin-Messwiderstand	ENARS422	Encoder A/Ā (TTL)		

Technische Änderungen vorbehalten V1-07.10.2025